

$\text{Al}_2\text{O}_3-\text{MgO}$ 系流し込み材の開発 高炉鉄床脱珪用耐火物の開発(第1報)

日本钢管㈱ 中研福山研究所 ○沼田哲始 西 正明
福山製鉄所 中島龍一 炭窯隆志 斎藤典生

1. 緒言

近年、鋼品質の高級化、生産の高能率化と合理化のニーズのもとに、溶銑予備処理の必要性が高まっている。これに対応すべく、当社は福山第2高炉に鉄床脱珪設備¹⁾を導入し、昨年6月から、本格操業を開始した。本報では、脱珪槽に使用される $\text{Al}_2\text{O}_3-\text{MgO}$ 系流し込み材の開発状況について述べる。

2. 材質についての検討

脱珪槽に使用される流し込み材は、 FeO を含む低塩基度スラグ ($\text{CaO}/\text{SiO}_2 = 0.5$) に対して高耐食性を有する材質でなければならない。耐食性は、スラグとの反応による液相生成量に支配され、 $\text{Al}_2\text{O}_3-\text{MgO}$ 系流し込み材では、マトリックス部の MgO と Al_2O_3 の比 ($\text{MgO}/\text{Al}_2\text{O}_3$) に大きく左右される。 $\text{Al}_2\text{O}_3-\text{MgO}-\text{SiO}_2$ 系状態図を用いて、1600°Cにおけるスラグ ($\text{SiO}_2 100\%$) との反応による液相生成量を検討した。結果を Fig. 1 に示す。 $\text{MgO}/\text{Al}_2\text{O}_3$ が小さい場合は液相の生成が多く、耐食性が低下する。一方、 $\text{MgO}/\text{Al}_2\text{O}_3 \geq 1.0$ では、液相の生成しない領域が存在し、高耐食性が期待される。そこで、マトリックス部の $\text{MgO}/\text{Al}_2\text{O}_3$ の異なる4種の $\text{Al}_2\text{O}_3-\text{MgO}$ 系流し込み材の耐食性を、回転スラグ浸食試験により評価した。結果を Table 1 に示す。 $\text{MgO}/\text{Al}_2\text{O}_3$ の増加に伴い、浸食量は減少する。この浸食量の差と、Fig. 1 に示した液相生成量の差との間には、定性的な相関がみられる。

3. 実用試験結果

Table 1 の A, C, D 材を用いて実用試験を行った。フランクス投入原単位と、脱珪銑 1000Tあたりのスラグライン部最大損耗速度との関係を Fig. 2 に示す。 $\text{MgO}/\text{Al}_2\text{O}_3$ の小さい A 材は、フランクス投入原単位が高い場合、特に損耗速度が大きい。一方、 $\text{MgO}/\text{Al}_2\text{O}_3 \geq 1.0$ である C, D 材は、フランクス投入原単位が高い場合においても、損耗速度は小さい。フランクス投入原単位 15 kg/Tにおける C 材と A 材の損耗速度比は、実験室的な浸食指数比と一致する。以上の実用試験結果から、マトリックス部の $\text{MgO}/\text{Al}_2\text{O}_3$ が 1.0 以上の $\text{Al}_2\text{O}_3-\text{MgO}$ 系流し込み材は、低塩基度スラグに対して高耐食性を有し、脱珪槽への使用が可能であることが確認された。

4. 結言

マトリックス部の $\text{MgO}/\text{Al}_2\text{O}_3$ が 1.0 以上の $\text{Al}_2\text{O}_3-\text{MgO}$ 系流し込み材を、脱珪槽に適用することにより、充分な脱珪処理ができる見通しを得た。今後は、スラグによる物理的攪拌の軽減、槽内温度の低下等による耐食性向上効果を検討する予定である。

参考文献

- 1) 山本ら；鉄と鋼, 71(1985)12, S915

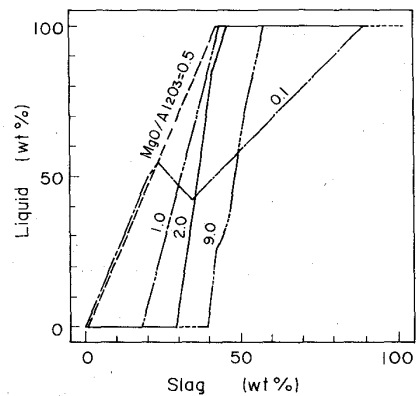


Fig. 1 Relation between slag penetration and quantity of liquid.

Table I Results of rotary slag corrosion test.

Specimens.	A	B	C	D
$\text{MgO}/\text{Al}_2\text{O}_3$	0.07	0.5	1.0	1.8
chemical composition	94.5	87.0	81.0	76.0
(wt %)	MgO 2.0 SiO ₂ 1.5	10.0 0.5	15.0 2.0	20.0 2.0
Wear index	100	66	51	38

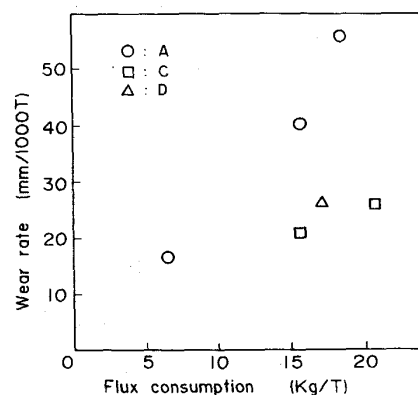


Fig. 2 Relation between flux consumption and wear rate.